

УДК 532.527:519.63

## ЧИСЛЕННОЕ МОДЕЛИРОВАНИЕ СТРУКТУРНЫХ ПЕРЕХОДОВ В ПЛОСКОМ СДВИГОВОМ СЛОЕ

КОЗЛОВ В. Ф., ЯРОЩУК Е. В.

В плоских задачах гидродинамики под сдвиговым слоем подразумевается переходная зона между двумя параллельными потоками с различными скоростями [1]. В изучении структуры и эволюции этих слоев на моделях идеальной однородной несжимаемой жидкости распространен подход, при котором определяются возможные стационарные состояния сдвиговых слоев, исследуется их устойчивость и изучается процесс распада выделенных неустойчивых состояний. Интересный класс стационарных состояний представляют области постоянной завихренности, периодически повторяющиеся вдоль оси  $x$  с длиной волны  $L$ . В предположении, что отдельные вихри можно аппроксимировать эллипсами с полуосями  $a$  и  $b$ , в [2] указано условие существования стационарного состояния  $L > 3,3\sqrt{ab}$ . Форма отдельных вихрей в такой цепочке, включая предельный случай их соприкосновения, численно определена в [3]. В работах [4, 5] этот класс был дополнен решениями, бифурцирующими от вихревой пелены конечной толщины. Представляет несомненный интерес моделирование возможных переходов между различными структурами сдвигового слоя, различающимися характером распределения завихренности. В настоящей статье приводятся некоторые результаты численного решения задач указанного типа, построенных с помощью метода контурной динамики [6]. Этот метод недавно был успешно применен для исследования поведения слоя постоянной завихренности возле твердой стенки [7] и воспроизведения нелинейной неустойчивости Кельвина – Гельмгольца свободного сдвигового слоя при конечных начальных возмущениях [8].

1. Пусть мгновенное состояние сдвигового слоя аппроксимируется бесконечным рядом периодически повторяющихся областей постоянной завихренности  $\omega_0$ , одну из которых обозначим через  $S(t)$ . Функция тока имеет представление

$$\psi(x, y, t) = \omega_0 \iint_{S(t)} G(\xi - x, \eta - y) d\xi d\eta \quad (1.1)$$

$$G(x, y) = \frac{1}{4\pi} \ln \left[ \operatorname{ch} \left( \frac{2\pi y}{L} \right) - \cos \left( \frac{2\pi x}{L} \right) \right]$$

Преобразуя интеграл (1.1) в контурный по границе  $C(t)$  области  $S(t)$ , получим для функции тока и проекций вектора скорости выражения

$$\psi(x, y, t) = -\omega_0 \oint_{C(t)} F(\xi - x, \eta - y) d\xi \quad (1.2)$$

$$u = -\psi_y = -\omega_0 \oint_{C(t)} G(\xi - x, \eta - y) d\xi \quad (1.3)$$

$$v = \psi_x = -\omega_0 \oint_{C(t)} G(\xi - x, \eta - y) d\eta \quad (1.4)$$

$$F(x, y) = \int_0^y G(x, y) dy$$

Если завихренные области непрерывно переходят одна в другую (сдвиговой слой представляет бесконечную полосу), в формулах (1.2)–(1.4) интегралы по вертикальным участкам  $C(t)$  в сечениях  $\xi=0$  и  $\xi=L$  в силу периодичности взаимно уничтожаются. Возникающие в подынтегральных функциях при  $(x, y) \in C(t)$  логарифмические особенности легко устраняются интегрированием по частям.

Эволюция контура  $C(t)$  описывается дифференциальными уравнениями  $dx/dt=u$ ,  $dy/dt=v$ , где под  $(x, y)$  подразумеваются лагранжевы координаты произвольной жидкой частицы на контуре. Принятый в настоящей работе вычислительный алгоритм [9] предусматривает параметрическое задание контура с последующей аппроксимацией его конечным множеством опорных точек, которое в целях равномерного распределения узлов после каждого временного шага перестраивается с использованием техники периодических кубических сплайнов. Интегрирование эволюционных уравнений осуществлялось по схеме Эйлера с пересчетом.

2. Перейдем к обсуждению численных экспериментов. В первой серии расчетов в качестве начального состояния принималась прямолинейная полоса постоянной завихренности шириной  $h$ . Для возмущений, пропорциональных  $\exp(\lambda t + 2\pi m x i/L)$ , имеем [10]

$$\lambda = \pm \frac{\omega_0}{2} \sqrt{\Phi(z)}, \quad z = 2\pi m q, \quad q = \frac{h}{L}, \quad \Phi(z) = e^{-2z} - (1-z)^2$$

Функция  $\Phi(z)$  положительна в промежутке  $0 < z < \mu = 1,278$ , достигая максимума  $\Phi(\nu) = 0,162$  в точке  $z = \nu = 0,797$ . Отсюда следует, что при заданном  $m$  и условии  $z = \nu$  в процессе развития неустойчивости должна преобладать  $m$ -я мода. Это полностью подтвердилось в численных экспериментах, в которых постоянно возмущающим шумом служили ошибки аппроксимации и округления в ЭВМ. В каждом случае развивалась характерная для неустойчивости Гельмгольца картина сворачивания вихревой пелены конечной толщины в систему компактных квазиэллиптических вихрей, соединенных тонкими нитями завихренности. Переход к нелинейной стадии распада значительно ускоряется, если полосе придать начальное возмущение, согласованное с ожидаемой теоретической модой.

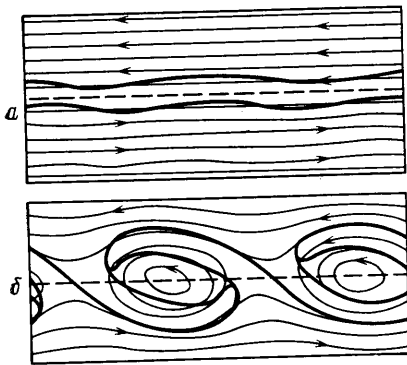
На фиг. 1 представлены начальная конфигурация ( $a$ ) и результат расчета в безразмерный момент времени  $\tau = \omega_0 t = 24$  ( $b$ ) при  $q = 0,0625$ , что очень близко к условию максимального развития второй моды. Толстыми линиями показаны границы области  $S(t)$ , а тонкие изображают линии тока, вычисленные с помощью (1.2). Амплитуда косинусоидального исходного возмущения составляла 10% от ширины невозмущенной полосы. Для аппроксимации горизонтальных участков контуров в начальный момент времени использовалось по 60 узлов, число которых в дальнейшем автоматически увеличивалось пропорционально растущей длине каждого контура (до 165 при  $\tau = 24$ ).

По данным трех экспериментов, выполненных при  $q = 0,125$ ;  $0,0625$ ;  $0,0415$  и отвечающих  $m = 1, 2, 3$ , были определены для сформировавшихся вихрей средние отношения  $\chi = b/a$  минимального и максимального диаметров; они оказались близки к 0,5.

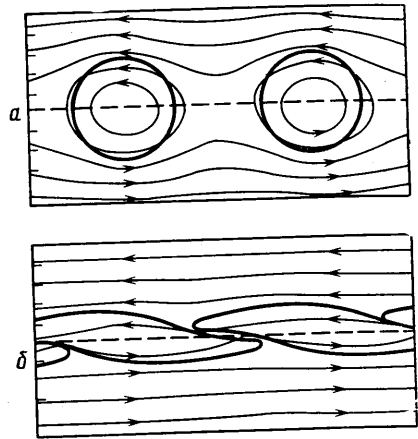
Во второй серии экспериментов изучалась эволюция цепочки первоначально круглых вихрей радиуса  $r$ , центры которых расположены на расстоянии  $L$  друг от друга. Более естественным было бы исходить из известных стационарных состояний [3–5], однако это оказалось затруднительным из-за представления последних в цитированных источниках лишь в графической форме. Возможность существования квазистационарной цепочки первоначально круглых областей постоянной завихренности изучалась методом точечных вихрей в [2], где показано, что при  $p = r/L = 0,32$  система разрушается, а при  $p = 0,26$  вихри колеблются с периодом, близким к  $T = 12/\pi^2 p^2 \omega_0$ .

Ниже сделана попытка уточнить критическое значение  $p^*$  и проследить за эволюцией цепочки в случае ее распада. Всего было выполнено 11 экспериментов в интервале  $0,24 \leq p \leq 0,45$ . При  $p \leq 0,249$  вихри периодически меняют свою форму в качественном согласии с моделью [11] движения эллиптического вихря в потоке с постоянным сдвигом скорости. При  $p = 0,250$ , вытянувшись вдоль оси цепочки, соседние вихри налегают концами друг на друга, образуя конфигурацию, очень сходную со стационарным состоянием, бифурцирующим от сдвигового слоя постоянной толщины [4, 5]. При дальнейшем увеличении параметра  $p$  вихри все больше вытягиваются в продольном направлении, прижимаясь друг к другу.

Пример эволюции указанного типа при  $p = 0,260$  приведен на фиг. 2, на которой хорошо видно, как исходное поле линий тока (а) трансформировалось



Фиг. 1



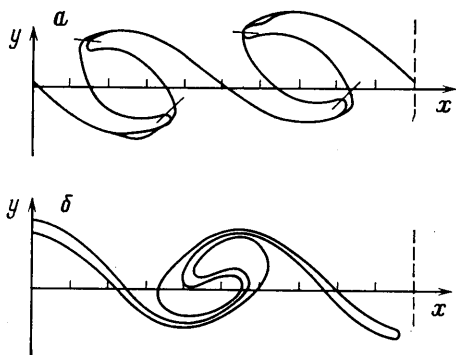
Фиг. 2

мируется при  $\tau = 10,7$  в структуру (б), характерную для слабо возмущенного сдвигового слоя конечной толщины (ср. с фиг. 1, а). Если допустить, что возможна эволюция цепочки в стационарный сдвиговой слой постоянной толщины, из условия сохранения завихренных площадей находим  $q = \mu p^2$ , откуда при  $p^* = 0,250$  следует  $q = 0,196$ , что чуть меньше рэлеевского критерия устойчивости  $q^* = \mu/2\pi = 0,203$  для первой моды. На самом деле при  $q > 0,250$ , как показывает анализ сформировавшихся полос переменной толщины, их границы представляют почти гармонические волны, фазовые скорости распространения которых близки к значениям, предсказываемым линейной теорией возмущений устойчивых прямолинейных полос постоянной ширины  $q > q^*$ .

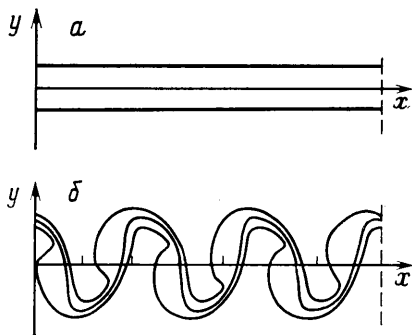
Фигура 1 иллюстрирует характерную для метода контурной динамики особенность, связанную с появлением динамически незначимых тонких и длинных нитей завихренности (или безвихревых перемычек на фиг. 2, б), требующих для своего разрешения все возрастающих ресурсов ЭВМ. Искусственное устранение указанных нитей и изменение топологии слоя делает возможным продолжение эксперимента и моделирование субгармонической неустойчивости с последующим спариванием вихрей [1]. Эксперимент такого типа приведен на фиг. 3, где для первоначально прямолинейной сдвиговой полосы с  $q = 0,07$  в момент  $\tau = 72$  (а), когда уже заметно возбуждение субгармонической неустойчивости, было выполнено отсечение нитей в отмеченных короткими засечками местах и расчет продолжен далее до фактического слияния двух вихрей в один при  $\tau = 110$  (б) с характерным выбросом новых нитей. Отметим эффект вовлечения незавихренной жидкости внутрь сформировавшегося нового вихря. Ранее процесс субгармонической неустойчивости и спаривания моделировался методом точечных вихрей [12].

Два прилегающих сдвиговых слоя с постоянными завихренностями разных знаков моделируют простейшее струйное течение с кусочно-линейным профилем скорости. На фиг. 4 представлена рассчитанная эволюция симметричной струи с  $h_1=h_2=0,0975L$  (а) (максимально растущей является вторая мода; изображены полтора пространственных периода), приводящая при  $\tau=71$  (б) к формированию кармановской дорожки в соответствии с моделью неустойчивости ламинарного следа [13].

Выполненные численные эксперименты свидетельствуют о перспективности метода контурной динамики как средства моделирования форми-



Фиг. 3



Фиг. 4

рования и разрушения различных вихревых структур в плоских течениях идеальной несжимаемой жидкости. Приведенные на фиг. 1, 2 примеры иллюстрируют двойственную природу сдвигового слоя и демонстрируют характер взаимных переходов полоска — цепочка и обратно. Такие процессы, в частности, представляют большой интерес для океанологии, где климатические фронтальные разделы, проявляющие себя в природе попеременно в одной из двух указанных выше форм, моделируются в виде сдвиговых слоев.

#### ЛИТЕРАТУРА

1. Гидродинамические неустойчивости и переход к турбулентности. М.: Мир, 1984. 344 с.
2. Moore D. W., Saffman P. G. The density of organized vortices in a turbulent mixing layer. — J. Fluid Mech., 1975, v. 69, № 3, p. 465–473.
3. Дуболадов И. В., Садовский В. С. Исследование цепочки вихрей конечного поперечного сечения. — Уч. зап. ЦАГИ, 1977, т. 8, № 6, с. 9–17.
4. Saffman P. G., Szeto R. Structure of a linear array of uniform vortices. — Stud. Appl. Math., 1981, v. 65, № 3, p. 223–248.
5. Pierrehumbert R. T., Widnall S. E. The structure of organized vortices in a free shear layer. — J. Fluid Mech., 1981, v. 102, p. 301–313.
6. Zabusky N. J., Hughes M. H., Roberts K. V. Contour dynamics for the Euler equations in two dimensions. — J. Comput. Phys., 1979, v. 30, № 1, p. 96–106.
7. Pullin D. I. The nonlinear behaviour of a constant vorticity layer at a wall. — J. Fluid Mech., 1981, v. 108, p. 401–421.
8. Pozrikidis C., Higdon J. J. L. Nonlinear Kelvin-Helmholtz instability of a finite vortex layer. — J. Fluid Mech., 1985, v. 157, p. 225–263.
9. Козлов В. Ф., Макаров В. Г. Моделирование неустойчивости осесимметричных вихревых шнура с помощью метода контурной динамики. — Изв. АН СССР. МЖГ, 1985, № 1, с. 33–39.
10. Рэлей, Дж. В. Стрэтт. Теория звука. Т. 2. М.: Гостехиздат, 1955. 476 с.
11. Kida S. Motion of an elliptic vortex in uniform shear flow. — J. Phys. Soc. Jap., 1981, v. 50, № 10, p. 3517–3520.
12. Acton E. The modelling of large eddies in a two-dimensional shear layer. — J. Fluid Mech., 1976, v. 76, № 3, p. 561–592.
13. Christiansen J. P., Zabusky N. J. Instability, coalescence and fission of finite-area vortex structures. — J. Fluid Mech., 1973, v. 61, № 2, p. 219–243.

Владивосток

Поступила в редакцию  
10.XI.1985